

新型圆柱蜗杆传动

〔苏联〕Ф. Л. 李特文著



上海科学技术出版社

新型圓柱蝸杆傳動

〔苏联〕Ф. Л. 李特文 著

陈 永 譯
国 楷 校

上海科学技术出版社

內容提要

本书闡述新型圓柱蝸杆傳動的嚙合原理、幾何計算和製造的基本知識。新型圓柱蝸杆在軸向和法向齒面內的齒廓呈凹形，這樣有利於提高承載能力和傳動效率。

本書可供從事機器製造的工程技術人員和大專院校有關專業師生參考。

НОВЫЕ ВИДЫ ЦИЛИНДРИЧЕСКИХ ЧЕРВЯЧНЫХ ПЕРЕДАЧ

Ф. Л. Литвин

Машгиз · 1962

新 型 圓 柱 蝸 杆 傳 动

陈 永 譚

上海科學技術出版社出版 (上海瑞金二路 450 号)
上海市書刊出版業營業許可證出 093 号

上海市印刷六厂印刷 新华书店上海发行所发行

开本 850×1156 1/32 印张 3 10/32 排版字数 85,000
1965 年 11 月第 1 版 1965 年 11 月第 1 次印刷
印数 1—7 500

统一书号 15119·1840 定价(科六) 0.50 元

前　　言

最近一个时期，新型圆柱蜗杆传动得到了较普遍的推广。它和以前所采用的圆柱蜗杆传动不同之处在于，新型蜗杆传动的蜗杆在轴向和法向截面内的齿廓不是凸形，而是凹形。新型蜗杆传动在承载能力和效率方面，都大大超过了以前所熟知的圆柱蜗杆传动，并且接近弧面蜗杆传动。

本书将叙述新型蜗杆传动的啮合原理和几何计算。新型蜗杆具有凹形齿廓，并且用环面砂轮进行磨削加工。书中还叙述了制造这类蜗杆传动所必需的知识。

为了解决上面列举的各个问题，需要读者对啮合原理有足够的了解，所以在第一章里，将讨论有关啮合原理的基本知识。作者认为，第一章内的许多内容，对于从事一般啮合原理研究的人员，也是有兴趣的。

由于我们是来研究新型蜗杆传动的啮合特点，因此，作者有必要制定比以前所采用的更为有效的研究方法。为此，在本书里，将叙述这样一些新方法：a) 瞬时接触线[†]的求法；b) 确定蜗轮轮齿不发生根切的条件；c) 啮合区域的求法；d) 确定啮合区域上枢紐线和下枢紐线的有效方法。

书中许多结论作者以前尚未发表过。

本书 19、25 和 27 三节是根据作者和 И. П. Бернацкий 的研究成果写成的。

[†] 为了避免和点啮合齿轮传动中齿面的“接触线”相混淆，我们把本书中的“линия контакта”均译为“瞬时接触线”，这样似乎更符合实际情况。——译校者注

目 录

前 言	
緒 论	1
第一章 喷合原理和喷合几何学的基本知識	3
1. 蜗杆螺旋齿面方程式的两种形式	3
2. 有关矩阵的知識	8
3. 坐标变换	12
4. 选用的坐标系	15
5. 相对运动速度向量的表达式	19
6. 喷合方程式和瞬时接触綫方程式	22
7. 喷合軸	24
8. 喷合樞紐綫	27
9. 喷合区域	30
10. 蜗輪輪齿的根切	33
11. 几何計算公式	42
12. 选择蜗杆傳动合理的几何形式	50
第二章 I型蜗杆傳动	53
13. I型蜗杆的磨削加工方法和砂輪表面上的瞬时接触綫	53
14. I型蜗杆螺旋齿面的方程式	57
15. I型蜗杆的端面齿廓	60
16. I型蜗杆傳动的喷合樞紐綫	60
17. I型蜗杆傳动的瞬时接触綫	62
18. 飞刀刀片齿廓的計算和檢驗 I型蜗杆的样板輪廓的計算	63
19. I型蜗杆傳动的計算例題	67
第三章 II型蜗杆傳动	72
20. II型蜗杆的磨削加工方法和砂輪表面上的瞬时接触綫	72
21. II型蜗杆螺旋齿面的方程式	75

22. II 型蜗杆傳動的嚙合樞紐線	77
23. II 型蜗杆傳動的瞬時接觸線	79
24. II 型蜗輪輪齒的根切	81
25. 關於選擇 II 型蜗杆傳動幾何參數的幾點建議	82
26. 飛刀刀片齒廓的計算和檢驗 II 型蜗杆的樣板輪廓的計算	84
27. II 型蜗杆傳動的計算例題	87
第四章 工藝知識概要	94
28. 蜗杆磨削加工的一些特點	94
29. 切制蜗輪輪齒	96
參考文獻	100

緒論

力圖提高圓柱蝸杆傳動的承載能力和傳動效率，導致了新型蝸杆傳動的出現。新型蝸杆在軸向和法向截面內的齒廓呈凹形。蝸杆螺旋齒的凹面和蝸輪齒的凸面相共軛。兩共軛齒面組成的瞬時接觸線的形狀，有助於改善油膜形成的條件（參看第12、19和27三節）。在承載能力和傳動效率方面，凹形齒廓蝸杆傳動大大超過以前所熟知的各種圓柱蝸杆傳動，並且接近於弧面蝸杆傳動。

大家知道，為了保證兩齒面的硬度差，蝸杆先要熱處理，然後再進行磨削加工。從工藝角度來看，蝸杆螺旋齒面能用形狀簡單的砂輪進行磨削加工，最有前途。

本書將研究蝸杆用環面砂輪磨削加工的蝸杆傳動的幾何問題。砂輪表面在砂輪軸向截面內的截線是一段圓弧。在磨蝸杆時，砂輪軸和蝸杆軸相錯，並且砂輪對蝸杆或蝸杆對砂輪的相對運動是螺旋運動。

根據用環面砂輪形成蝸杆螺旋面方法的不同，我們把蝸杆分為I型和II型。I型蝸杆是西德採用的方案，II型蝸杆是作者推薦的方案。當根據I型方案形成蝸杆螺旋齒面時^{110, 111}，砂輪和蝸杆兩軸間的相錯角 γ_u 等於蝸杆分度圓柱上螺旋線的升角，並且把砂輪在軸向截面內的齒廓的半徑 ρ ，選成和蝸杆分度圓柱的半徑相等。下面將證明，這樣的砂輪表面和蝸杆齒面的瞬時接觸線是一條空間曲線，並且蝸杆齒面將由一個相當複雜的三參數方程式和一個附加的參數關係式來決定。我們認為，I型蝸杆有如下缺點：a) 修整砂輪將引起砂輪直徑和砂輪與蝸杆兩軸間的最短距離的減小，這樣就會造成磨出的蝸杆齒面發生形狀的改變；b) 蝸杆傳動的瞬時接觸線的形狀，不可能完全消除咬住的危險。

作者證明，如果安裝砂輪的各參數值是經過特殊計算而求得

的, 則可使砂輪表面和蝸杆齒面的瞬時接觸線不再是空間曲線, 而是和砂輪的軸向齒廓重合的平面曲線。這個特點就是構成 II 型
蝸杆的理論基礎^[9, 12]。在這種情況下, 蝸杆齒面為一形式比較簡單的兩參數方程式。這樣可顯著地使嚙合的研究簡化, 並且易于
尋求要設計的蝸杆傳動的最佳參數。修整砂輪, 以及由此而引起的
砂輪軸和蝸杆軸之間最短距離的變化, 不會給磨出的蝸杆齒面
帶來任何影響。同時, 我們能夠得到形狀上比較好的蝸杆齒面和
蝸輪齒面的瞬時接觸線, 這就會使蝸杆傳動的承載能力和傳動效率
得到提高。蝸輪輪齒發生根切是 II 型蝸杆傳動的缺陷。

有關凹形齒蝸杆傳動的嚙合原理和製造問題的文獻很少。在
西德, 曾發表過 G. Niemann 的文章^[10]。其中敘述了凹形齒蝸杆
傳動試驗研究的結果, 但是這種蝸杆傳動的嚙合原理和嚙合幾何學
並未闡明。

在蘇聯, 敘述凹形齒蝸杆傳動嚙合原理和嚙合幾何學的著作
有 И. С. Кривенко^[5]、Ф. Л. Литвин、И. К. Корытов^[7] 以及 И.
П. Бернацкий 等人的文章。但是, 經過磨削加工的蝸杆的傳動幾
何學, 在上述文章中沒有談到。

Л. С. Борович 對本書中所研究的蝸杆傳動進行了試驗研究,
並且求出了這種蝸杆傳動的承載能力和傳動效率。

用環面砂輪進行磨削加工而得的蝸杆, 其傳動幾何學的主要
研究成果, 曾在作者的著作^[6] 中敘述過。在本書里, 對這類蝸杆傳
動的幾何問題敘述得比較詳細, 並且補充了新的研究成果。

凹形齒蝸杆傳動各個參數的選擇, 對蝸杆齒面和蝸輪齒面瞬
時接觸線的形狀, 以及蝸輪輪齒的根切條件有很大的影響。為了
確定這些參數的合理數值, 本書作者和 И. П. Бернацкий 一起進
行了專門的研究, 部分成果在本書 19、25 和 27 三節中作了敘述。

第一章 喷合原理和喷合几何学的基本知識

1. 蜗杆螺旋齿面方程式的两种形式

圆柱蜗杆的螺旋齿面是等螺距的螺旋面。这样的螺旋面，可以用任意一条曲线绕蜗杆轴做螺旋运动来形成。

从微分几何学中知道，曲面方程式最好以下列参数形式给出：

$$\left. \begin{array}{l} x_1 = x_1(\psi, \vartheta), \\ y_1 = y_1(\psi, \vartheta), \\ z_1 = z_1(\psi, \vartheta). \end{array} \right\} \quad (1.1)$$

参数 ψ 和 ϑ 是决定曲面上一点的位置的曲线坐标。从坐标原点到曲面上一点的向量 $r_1 = r_1(\psi, \vartheta)$ 是两个数量参数 ψ 和 ϑ 的向量函数。

如果取一个参数为常数，例如让 $\vartheta = \vartheta_i$ ，那么 $r_1 = r_1(\psi, \vartheta_i)$ 是曲面上坐标曲线 ψ 的方程式。这意味着，当 ϑ 值固定，并且改变 ψ 之值时，向量 $r_1 = r_1(\psi, \vartheta_i)$ 的端点将在曲面上沿坐标曲线 ψ 移动。同样，如果固定参数 ψ 的值，改变参数 ϑ ，则可以在曲面上得到另一条坐标曲线 ϑ (图 1)。

假定在螺旋齿的工作部分，其表面是连续的，即 $r_1 = r_1(\psi, \vartheta)$ 是自变量 ψ 和 ϑ 的连续函数，则通过齿面上的每一个点 M 应当有两条坐标曲线：a) $\psi = \text{const}$; b) $\vartheta = \text{const}$ 。并且这两条坐标曲线在点 M 处有两条彼此不相重合的切线。

在轮齿的工作部分，齿面在每个点应当有一个切面。在 M 点，这个切面的位置可这样来确定，即该切面应当包含通过 M 点的两条坐标曲线的切线。在坐标曲线上，例如 ψ 上的向量 r_1 ，仅仅与参数 (ψ) 有关，因为这条坐标曲线是在 $\vartheta = \text{const}$ 的情况下画出的。

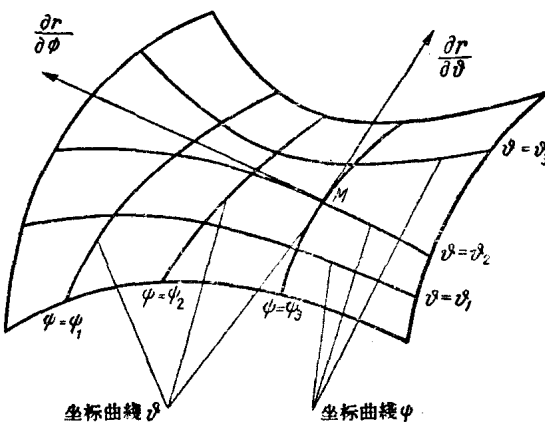


图 1 推导齿面方程式

坐标曲线的方向，可由向量 $d\mathbf{r}_1/d\psi$ 和 $d\mathbf{r}_1/d\vartheta$ 的方向来确定。在曲面上，给定点的法线 \mathbf{n}_1 与包含向量 $d\mathbf{r}_1/d\psi$ 和 $d\mathbf{r}_1/d\vartheta$ 的平面垂直，因此

$$\mathbf{n}_1 = \frac{\partial \mathbf{r}_1}{\partial \psi} \times \frac{\partial \mathbf{r}_1}{\partial \vartheta} \quad (1.2)$$

法线向量在坐标轴上的投影：

$$\left. \begin{aligned} n_{x_1} &= \left| \begin{array}{cc} \frac{\partial y_1}{\partial \psi} & \frac{\partial y_1}{\partial \vartheta} \\ \frac{\partial z_1}{\partial \psi} & \frac{\partial z_1}{\partial \vartheta} \end{array} \right| = \frac{\partial y_1}{\partial \psi} \cdot \frac{\partial z_1}{\partial \vartheta} - \frac{\partial y_1}{\partial \vartheta} \cdot \frac{\partial z_1}{\partial \psi}, \\ n_{y_1} &= \left| \begin{array}{cc} \frac{\partial z_1}{\partial \psi} & \frac{\partial z_1}{\partial \vartheta} \\ \frac{\partial x_1}{\partial \psi} & \frac{\partial x_1}{\partial \vartheta} \end{array} \right| = \frac{\partial z_1}{\partial \psi} \cdot \frac{\partial x_1}{\partial \vartheta} - \frac{\partial z_1}{\partial \vartheta} \cdot \frac{\partial x_1}{\partial \psi}, \\ n_{z_1} &= \left| \begin{array}{cc} \frac{\partial x_1}{\partial \psi} & \frac{\partial x_1}{\partial \vartheta} \\ \frac{\partial y_1}{\partial \psi} & \frac{\partial y_1}{\partial \vartheta} \end{array} \right| = \frac{\partial x_1}{\partial \psi} \cdot \frac{\partial y_1}{\partial \vartheta} - \frac{\partial x_1}{\partial \vartheta} \cdot \frac{\partial y_1}{\partial \psi}. \end{aligned} \right\} \quad (1.3)$$

法线单位向量的投影——法线的方向向量 \mathbf{e} ，由下列表达式确定：

$$\left. \begin{array}{l} e_{x_1} = kn_{x_1}, \\ e_{y_1} = kn_{y_1}, \\ e_{z_1} = kn_{z_1}. \end{array} \right\} \quad (1.4)$$

式中标准化因子

$$k = \frac{1}{\sqrt{n_{x_1}^2 + n_{y_1}^2 + n_{z_1}^2}}.$$

法线方向向量的投影分别等于法线和各个坐标轴夹角的余弦。

在本书里，研究用盘状砂轮进行磨削加工所形成的蜗杆螺旋齿面（参看第13节）。蜗杆螺旋齿面是砂轮表面的包络面，其方程式如下：

$$\left. \begin{array}{l} x_1 = x_1(\psi, \vartheta, \beta), \\ y_1 = y_1(\psi, \vartheta, \beta), \\ z_1 = z_1(\psi, \vartheta, \beta); \\ f(\psi, \vartheta) = 0. \end{array} \right\} \quad (1.5)$$

式中 ψ 和 ϑ —— 砂轮表面的参数；

β —— 决定蜗杆对砂轮相对运动的参数。

在方程式(1.5)中，含有三个参数，但是它们当中只有两个是独立的，因为 ψ 和 ϑ 由下式所联系：

$$f(\psi, \vartheta) = 0.$$

如果从方程式(1.5)中消去一个参数，那么可以把这些方程式改为两参数形式。但是，这不是永远可能办到的。在这样的情况下，最好利用蜗杆螺旋齿面方程式的另一种形式。

从方程式(1.5)中，容易求出蜗杆端面齿廓的方程式，即以 $z_1=0$ 的平面，截蜗杆螺旋齿面所得的齿廓曲线方程式。这里的 z_1 代表蜗杆轴。令方程式(1.5)中的 $z_1=0$ ，可以算出端面齿廓的坐标 x_1 和 y_1 。

利用公式：

$$\left. \begin{array}{l} r = \sqrt{x_1^2 + y_1^2}, \\ \theta = \operatorname{arctg} \left(\frac{y_1}{x_1} \right), \end{array} \right\} \quad (1.6)$$

可以計算出蝸杆端面齒廓的極坐標 r 和 θ 。在方程式 (1.6) 中，
 r ——蝸杆端面齒廓向徑的模； θ ——決定向徑 r 位置的極角。

蝸杆螺旋齒面可用蝸杆端面齒廓的螺旋運動來形成。

設在坐標系 (x_0, y_0, z_0) 中 (圖 2a)，蝸杆端面齒廓的方程式為：

$$\left. \begin{array}{l} x_0 = r(\theta) \cos \theta, \\ y_0 = r(\theta) \sin \theta, \\ z_0 = 0. \end{array} \right\} \quad (1.7)$$

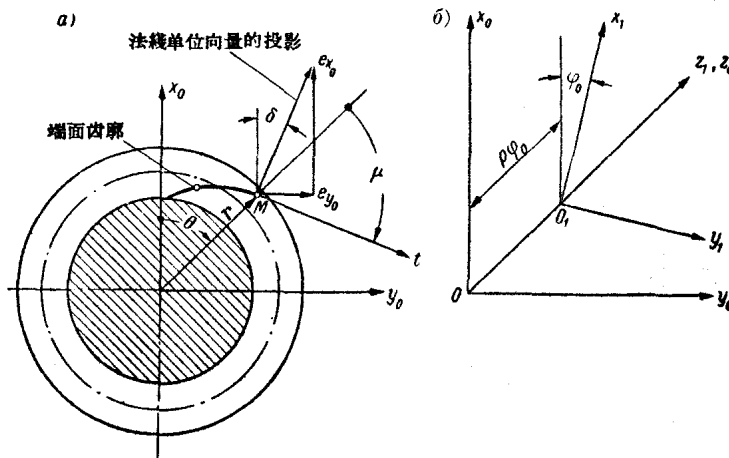


圖 2 推導圓柱蝸杆螺旋齒面的方程式

讓坐標系 x_0, y_0, z_0 繞 z_1 軸作螺旋運動 (圖 2b)。利用兩坐標系 s_1 和 s_0 之間的關係式，我們將得到：

$$\left. \begin{array}{l} x_1 = x_0 \cos \varphi_0 + y_0 \sin \varphi_0 = r \cos (\theta - \varphi_0), \\ y_1 = -x_0 \sin \varphi_0 + y_0 \cos \varphi_0 = r \sin (\theta - \varphi_0), \\ z_1 = -p \varphi_0. \end{array} \right\} \quad (1.8)$$

[†] 原書刊誤為

$$\left. \begin{array}{l} x_1 = x_0 \cos \varphi_0 - y_0 \sin \varphi_0 = r \cos (\theta + \varphi_0), \\ y_1 = y_0 \sin \varphi_0 + x_0 \cos \varphi_0 = r \sin (\theta + \varphi_0), \\ z_1 = p \varphi_0. \end{array} \right\}$$

在这些公式中， $r = r(\theta)$ ；螺旋参数 p 是当蜗杆旋转一个弧度时，其轴向的移动量；对于右旋蜗杆，参数 p 取正号，对于左旋蜗杆，参数 p 取负号。在图 26 中，表示出了右旋蜗杆螺旋齿面的形成方法。

若引入 $\theta' = \theta - \varphi_0$ [†]，则方程式(1.8)可写成：

$$\left. \begin{array}{l} x_1 = r \cos \theta', \\ y_1 = r \sin \theta', \\ z_1 = p(\theta' - \theta). \end{array} \right\} \quad (1.9)$$

在下文的第 6 和第 10 两节中，可以看出，利用这种蜗杆螺旋齿面方程式进行研究时，比利用方程式(1.5)要优越得多。

在图 2a 中，用 μ 表示向径 r 和端面齿廓切线 Mt 的正方向之间的夹角，切线 Mt 指向极角 θ 增加的一方。从微分几何中知道，角 μ 可由下式求出：

$$\mu = \arctg \left(\frac{r}{\frac{dr}{d\theta}} \right). \quad (1.10)$$

最好是通过齿面法线上方向向量(1.5)的投影来求 μ 。根据图 2a 可写出：

$$\mu = 90^\circ - \theta + \delta = 90^\circ - \theta + \arctg \left(\frac{e_{y_0}}{e_{x_0}} \right). \quad (1.11)$$

下面我們还需要由方程式(1.9)求出的蜗杆齿面法线向量投影的表达式。

法线向量

$$\mathbf{n}_1 = \frac{\partial \mathbf{r}_1}{\partial r} \times \frac{\partial \mathbf{r}_1}{\partial \theta'}. \quad (1.12)$$

式中 $\mathbf{r}_1 = \mathbf{r}_1(r, \theta')$ ——齿面上一点的向径；

r 和 θ' ——齿面的参数。

经过变换以后，法线向量的投影用下式表示：

[†] 原书刊误为 $\theta' = \theta + \varphi_0$ 。——译校者注

$$\left. \begin{array}{l} n_{x_1} = p \frac{\sin(\theta' + \mu)}{\cos \mu}, \\ n_{y_1} = -p \frac{\cos(\theta' + \mu)}{\cos \mu}, \\ n_{z_1} = r. \end{array} \right\} \quad (1.13)$$

法线上方向向量的投影，由下式确定：

$$\left. \begin{array}{l} e_{x_1} = \frac{p}{\sqrt{p^2 + r^2 \cos^2 \mu}} \sin(\theta' + \mu), \\ e_{y_1} = -\frac{p}{\sqrt{p^2 + r^2 \cos^2 \mu}} \cos(\theta' + \mu), \\ e_{z_1} = \frac{r}{\sqrt{p^2 + r^2 \cos^2 \mu}} \cos \mu. \end{array} \right\} \quad (1.14)$$

在作者的著作⁽⁸⁾中证明了，如果齿面是螺旋齿面，则法线向量的投影和齿面的坐标之间的关系式为：

$$y_1 n_{x_1} - x_1 n_{y_1} = p n_{z_1} \quad (1.15)$$

或

$$y_1 e_{x_1} - x_1 e_{y_1} = p e_{z_1}. \quad (1.16)$$

下面将利用这一特性来简化啮合方程式（参看第6节）。

2. 有关矩阵的知识

在下文里，推导坐标变换公式时，我们将用到矩阵计算的初步知识。

矩阵是由数 a_{ij} 组成的表，这些数以一定的形式，在表中按行和列排列起来。下表可作为矩阵的例子：

$$\left| \begin{array}{cccc} a_{11} & a_{12} & a_{13} & a_{14} \\ a_{21} & a_{22} & a_{23} & a_{24} \\ a_{31} & a_{32} & a_{33} & a_{34} \\ a_{41} & a_{42} & a_{43} & a_{44} \end{array} \right|.$$

上一矩阵是方阵，因为在矩阵中行数等于列数。

如矩阵元素 a_{ij} 用双下标形式表示时，则第一下标表示行的号数；第二下标表示列的号数。行和列相交之处为元素 a_{ij} 。例如，

元素 a_{34} 的两个下标, 表示元素 a_{34} 位于第三行(第一下标是 3) 和第四列(第二下标是 4) 相交之处。

下面我们将进行四阶方阵的运算, 它包含四个行和四个列。

相同阶数的两个方阵

$$A = \begin{vmatrix} a_{11} & a_{12} & a_{13} & a_{14} \\ a_{21} & a_{22} & a_{23} & a_{24} \\ a_{31} & a_{32} & a_{33} & a_{34} \\ a_{41} & a_{42} & a_{43} & a_{44} \end{vmatrix} \quad \text{和} \quad B = \begin{vmatrix} b_{11} & b_{12} & b_{13} & b_{14} \\ b_{21} & b_{22} & b_{23} & b_{24} \\ b_{31} & b_{32} & b_{33} & b_{34} \\ b_{41} & b_{42} & b_{43} & b_{44} \end{vmatrix}$$

的乘积, 是同一阶数的方阵

$$C = \begin{vmatrix} c_{11} & c_{12} & c_{13} & c_{14} \\ c_{21} & c_{22} & c_{23} & c_{24} \\ c_{31} & c_{32} & c_{33} & c_{34} \\ c_{41} & c_{42} & c_{43} & c_{44} \end{vmatrix}.$$

上述两矩阵的乘法运算可写成下面的形式:

$$C = AB.$$

矩阵 C 的元素由下式决定:

$$c_{ij} = a_{i1}b_{1j} + a_{i2}b_{2j} + a_{i3}b_{3j} + a_{i4}b_{4j}. \quad (2.1)$$

例如, 要求矩阵 C 第三行和第二列相交处的元素 c_{ij} , 根据方程式(2.1), 这个元素 c_{32} 为:

$$c_{32} = a_{31}b_{12} + a_{32}b_{22} + a_{33}b_{32} + a_{34}b_{42}.$$

不难看出, 要求的元素 c_{32} 是矩阵 A 第三行 ($i=3$) 的各个元素和矩阵 B 第二列 ($j=2$) 的相应各个元素的乘积之和。矩阵 A 、 B 和 C 中的相应元素均用方框圈出:

$$A = \begin{vmatrix} a_{11} & a_{12} & a_{13} & a_{14} \\ a_{21} & a_{22} & a_{23} & a_{24} \\ \boxed{a_{31}} & a_{32} & a_{33} & a_{34} \\ a_{41} & a_{42} & a_{43} & a_{44} \end{vmatrix}; \quad B = \begin{vmatrix} b_{11} & \boxed{b_{12}} & b_{13} & b_{14} \\ b_{21} & b_{22} & b_{23} & b_{24} \\ b_{31} & \boxed{b_{32}} & b_{33} & b_{34} \\ b_{41} & b_{42} & b_{43} & b_{44} \end{vmatrix};$$

$$C = \begin{vmatrix} c_{11} & c_{12} & c_{13} & c_{14} \\ c_{21} & c_{22} & c_{23} & c_{24} \\ c_{31} & \boxed{c_{32}} & c_{33} & c_{34} \\ c_{41} & c_{42} & c_{43} & c_{44} \end{vmatrix}.$$

矩阵 A 和 B 的乘法规则可简单地规定为《行乘列》法则。这个法则可以这样来理解，为了确定矩阵 $C = AB$ 的元素 c_{ij} ，需要求包含在矩阵 A 第 i 行（要求的元素 c_{ij} 的第一下标）中的各个元素，和包含在矩阵 B^{\dagger} 中的第 j 列（元素 c_{ij} 的第二下标）的对应元素的乘积之和。

必须预先说明，矩阵乘法不满足交换律，即矩阵的乘积与因子的次序有关。换句话说，除了特殊情况以外，

$$AB \neq BA.$$

求两个矩阵乘积的法则，可推广到具有任意个因子相乘的情况。在那种情况下，它们服从结合律，即因子可以归并为若干组，例如

$$(AB)C = A(BC).$$

第一种情况 $[(AB)C]$ ，首先求乘积 $D = AB$ ，然后再求乘积 DC （而不是 CD ）；第二种情况，首先求 $E = BC$ ，然后再求乘积 AE （而不是 EA ）。

现在引入列矩阵的概念。列矩阵是由一个列组成的直列矩阵，例如：

$$\begin{vmatrix} b_{11} \\ b_{21} \\ b_{31} \\ b_{41} \end{vmatrix}.$$

列矩阵可用方阵

$$\begin{vmatrix} b_{11} & 0 & 0 & 0 \\ b_{21} & 0 & 0 & 0 \\ b_{31} & 0 & 0 & 0 \\ b_{41} & 0 & 0 & 0 \end{vmatrix}$$

来代替。

和两个方阵相乘的情况相同，方阵和列矩阵的乘法运算也可以按《行乘列》法则来进行。

[†] 原书刊漏 B 。——译校者注

两矩阵 A 和 B 的乘积, 这里

$$A = \begin{vmatrix} a_{11} & a_{12} & a_{13} & a_{14} \\ a_{21} & a_{22} & a_{23} & a_{24} \\ a_{31} & a_{32} & a_{33} & a_{34} \\ a_{41} & a_{42} & a_{43} & a_{44} \end{vmatrix}, \quad B = \begin{vmatrix} b_{11} \\ b_{21} \\ b_{31} \\ b_{41} \end{vmatrix},$$

可看为矩阵 A 和矩阵 B' 的乘积, 这里

$$B' = \begin{vmatrix} b_{11} & 0 & 0 & 0 \\ b_{21} & 0 & 0 & 0 \\ b_{31} & 0 & 0 & 0 \\ b_{41} & 0 & 0 & 0 \end{vmatrix}.$$

这样, 我们将得到列矩阵

$$C = AB = AB' = \begin{vmatrix} c_{11} \\ c_{21} \\ c_{31} \\ c_{41} \end{vmatrix}.$$

式中

$$c_{11} = a_{11}b_{11} + a_{12}b_{21} + a_{13}b_{31} + a_{14}b_{41};$$

$$c_{12} = a_{21}b_{11} + a_{22}b_{21} + a_{23}b_{31} + a_{24}b_{41};$$

$$c_{13} = a_{31}b_{11} + a_{32}b_{21} + a_{33}b_{31} + a_{34}b_{41};$$

$$c_{14} = a_{41}b_{11} + a_{42}b_{21} + a_{43}b_{31} + a_{44}b_{41}.$$

例题 1 求两个矩阵

$$A = \begin{vmatrix} 3 & 2 & 2 & 1 \\ 4 & -3 & 0 & 2 \\ 5 & 0 & 5 & 3 \\ 0 & 6 & 7 & 4 \end{vmatrix}, \quad B = \begin{vmatrix} 1 & 3 & 0 & -1 \\ -1 & 0 & 1 & 2 \\ 2 & 5 & 2 & 3 \\ 3 & 0 & 4 & 1 \end{vmatrix}$$

的乘积。

答案 $C = AB = \begin{vmatrix} 8 & 19 & 10 & 8 \\ 13 & 12 & 5 & -8 \\ 24 & 40 & 22 & 13 \\ 20 & 35 & 36 & 37 \end{vmatrix}.$